

УДК 539.376; 539.42

## ПОЛЗУЧЕСТЬ ДЛИННОЙ УЗКОЙ МЕМБРАНЫ В СТЕСНЕННЫХ УСЛОВИЯХ ВПЛОТЬ ДО РАЗРУШЕНИЯ

А. М. Локощенко, В. В. Терауд

Институт механики Московского государственного университета  
им. М. В. Ломоносова, 119192 Москва  
E-mails: loko@imec.msu.ru, ldrnww@gmail.com

С использованием различных подходов и краевых условий проведено моделирование процесса деформирования длинной узкой прямоугольной мембраны, расположенной внутри жесткой клиновидной матрицы. Получены основные соотношения, характеризующие напряженно-деформированное состояние мембраны на различных стадиях деформирования. Приведены результаты численных экспериментов, в которых исследовались особенности деформирования мембран.

Ключевые слова: мембрана, ползучесть, стесненные условия, закон Кулона, разрушение.

**Введение.** Для описания деформирования мембраны используется дробно-степенная сингулярная модель установившейся ползучести материала [1]

$$\dot{p}_u = C \left( \frac{\sigma_u}{\sigma_b - \sigma_u} \right)^n, \quad (1)$$

где  $\sigma_u$ ,  $\dot{p}_u$  — интенсивности напряжений и скоростей деформаций ползучести;  $\sigma_b$  — предел кратковременной прочности материала при соответствующей температуре;  $C$ ,  $n$  — постоянные.

Решение рассматриваемой задачи, основанное на степенной связи интенсивностей напряжений и скоростей деформаций ползучести при напряжениях, не превышающих предела текучести материала, представлено в работе [2]. Решения задачи о деформировании мембраны в стесненных условиях с учетом упрочнения материала приведены в [3, 4]. В отличие от работ [2–4], в которых допускается появление бесконечных напряжений ( $\sigma_u \rightarrow \infty$ ) в начальный момент времени, в данной работе для их исключения дополнительно учитывается мгновенное деформирование. В [5] с использованием степенной модели ползучести материала описано стесненное деформирование мембраны внутри жесткой матрицы с учетом трения о стенки в отсутствие разрушения. В настоящей работе рассматривается возможность разрушения мембраны на любой стадии деформирования.

**1. Постановка задачи.** Рассмотрим деформирование длинной узкой прямоугольной мембраны шириной  $2a$  с начальной толщиной  $H_0$ , закрепленной вдоль длинных сторон и нагруженной равномерным давлением  $q$ , которое может изменяться во времени  $t$  по произвольному закону.

---

Работа выполнена при финансовой поддержке Российского фонда фундаментальных исследований (коды проектов 11-08-00007, 12-08-31166).

© Локощенко А. М., Терауд В. В., 2013

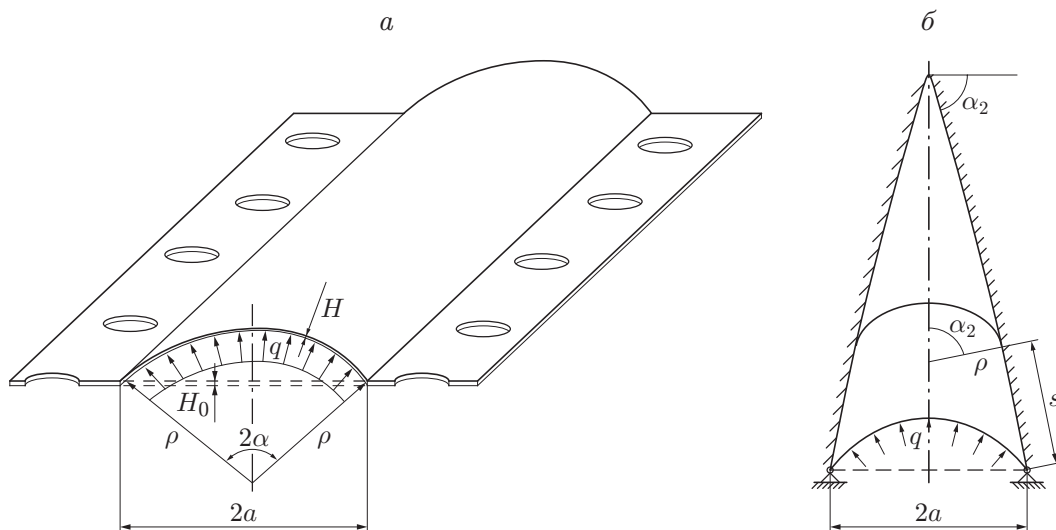


Рис. 1. Деформирование мембраны:  
 а — свободное деформирование мембраны под действием давления;  
 б — деформирование мембраны внутри матрицы

Решение данной задачи описывает три стадии деформирования. На первой стадии (стадии упругого деформирования) плоская в начальном состоянии мембрана под действием давления  $q$  мгновенно упруго деформируется, приобретая форму незамкнутой круговой цилиндрической оболочки с центральным углом  $2\alpha = 2\alpha_1$  и радиусом кривизны  $\rho$  (рис. 1,а). На второй стадии (стадии свободного деформирования) мембрана деформируется в условиях установившейся ползучести вплоть до момента, в который она касается стенок матрицы, при этом угол раствора мембраны равен  $2\alpha = 2\alpha_2$ . На третьей стадии (стадии стесненного деформирования) в процессе ползучести мембрана деформируется внутри жесткой матрицы при наличии трения о ее стенки (рис. 1,б). При моделировании напряженно-деформированного состояния мембраны рассматриваются радиальное  $\sigma_r$ , окружное  $\sigma_\theta$ , осевое  $\sigma_z$  главные напряжения и соответствующие компоненты тензора деформаций  $\varepsilon_r, \varepsilon_\theta, \varepsilon_z$  (при  $t > 0$  — компоненты тензора деформаций ползучести  $p_r, p_\theta, p_z$ ).

Для исключения бесконечных напряжений в начальный момент времени  $t$  предполагается, что в момент нагружения ( $t = 0$ ) мембрана обладает упругими свойствами. При анализе дальнейшего изменения формы мембраны ( $t > 0$ ) учитываются только деформации ползучести.

Напряженное состояние мембраны можно полагать безмоментным. Поскольку длина мембраны значительно превышает ее ширину, можно считать, что реализуется случай плоской деформации.

**2. Стадия мгновенного упругого деформирования.** Упругое деформирование мембраны описывается с помощью закона Гука с учетом несжимаемости материала мембраны.

Введем следующие безразмерные переменные:

$$\bar{q} = \frac{q}{\sigma_b}, \quad \bar{H} = \frac{H}{H_0}, \quad \bar{H}_0 = \frac{H_0}{a}, \quad k = \frac{E}{\sigma_b},$$

$$\bar{t} = \frac{\sqrt{3}}{2} Ct, \quad \bar{\rho} = \frac{\rho}{H_0}, \quad \bar{\sigma}_{ij} = \frac{\sigma_{ij}}{\sigma_b} \quad (i, j = 1, 2, 3).$$
(2)

Здесь  $E$  — модуль Юнга;  $H, \rho$  — толщина и радиус кривизны мембраны. Ниже при анализе деформирования мембраны черта над безразмерными переменными опускается.

Рассматривая элемент мембраны и записывая уравнения его равновесия в проекциях на нормаль и касательную, получаем

$$\sigma_\theta = q\rho/H, \quad \sigma_\theta H = \text{const}. \quad (3)$$

Из уравнений равновесия свободной мембраны (3), закона Гука и геометрических соотношений находим связь давления  $q$ , угла  $\alpha_1$ , появляющегося при упругом деформировании, а также значений толщины  $H_1$ , напряжения  $\sigma_{\theta 1}$  и деформации  $\varepsilon_{\theta 1}$  при  $\alpha = \alpha_1$ :

$$q = \frac{4}{3} H_0 k \sin \alpha_1 \left( 1 - \frac{\sin \alpha_1}{\alpha_1} \right), \quad H_1 = \frac{\sin \alpha_1}{\alpha_1}, \quad (4)$$

$$\sigma_{\theta 1} = \frac{q}{H_1 H_0 \sin \alpha_1}, \quad \varepsilon_{\theta 1} = \frac{\alpha_1}{\sin \alpha_1} - 1.$$

Следует отметить, что соотношения (4) позволяют исключить недопустимые в начальный момент времени бесконечные напряжения.

**3. Стадия свободного деформирования.** На стадии свободного деформирования возможно моделирование процесса ползучести мембраны до момента ее касания стенок матрицы, т. е. до момента, в который угол раствора мембраны станет равным  $2\alpha_2$ .

Из (3) следует, что  $\rho = \rho(t)$ , т. е. деформируемая срединная поверхность мембраны является частью поверхности кругового цилиндра с углом раствора  $2\alpha$ . Для тонкостенных цилиндрических оболочек обычно принимается  $\sigma_r = 0$ . В этом случае из гипотезы пропорциональности девиаторов напряжений и скоростей деформаций ползучести следует

$$\sigma_z = \sigma_\theta/2. \quad (5)$$

Ниже под скоростями понимаются производные по безразмерному времени  $t$ . В рассматриваемом плоском деформированном состоянии скорость осевой деформации ползучести  $\dot{p}_z$  принимается равной нулю:  $\dot{p}_z = 0$ .

В силу условия плоского деформирования из условия несжимаемости получаем

$$\dot{p}_r = -\dot{p}_\theta, \quad \dot{p}_u = \sqrt{\frac{2}{3}} (\dot{p}_r^2 + \dot{p}_\theta^2 + \dot{p}_z^2)^{0,5} = \frac{2}{\sqrt{3}} \dot{p}_\theta. \quad (6)$$

Из рис. 1 следует

$$H = \frac{\sin \alpha}{\alpha}. \quad (7)$$

Из (6), (7) находим

$$\dot{p}_\theta = -\dot{p}_z = -\frac{\dot{H}}{H} = \left( \frac{1}{\alpha} - \text{ctg} \alpha \right) \dot{\alpha}. \quad (8)$$

Уравнения (3), (5), (8) позволяют записать выражение для окружного напряжения  $\sigma_\theta$  и интенсивности напряжений  $\sigma_u$  в зависимости от угла раствора  $\alpha$ :

$$\sigma_\theta = \frac{q\rho}{H} = \frac{q\alpha}{H_0 \sin^2 \alpha};$$

$$\sigma_u = \frac{1}{\sqrt{2}} ((\sigma_\theta - \sigma_z)^2 + (\sigma_z - \sigma_r)^2 + (\sigma_r - \sigma_\theta)^2)^{0,5} = \frac{\sqrt{3}}{2} \sigma_\theta = \frac{\sqrt{3}}{2} \frac{q\alpha}{H_0 \sin^2 \alpha}. \quad (9)$$

Подставляя (6), (8), (9) в (1), получаем зависимость угла раствора  $\alpha$  от времени  $t$  при  $q(t) = \text{const}$ :

$$t = \int_{\alpha_1}^{\alpha} \left( \frac{1}{\alpha} - \text{ctg} \alpha \right) \left( \frac{2H_0 \sin^2 \alpha}{\sqrt{3} q \alpha} - 1 \right)^n d\alpha.$$

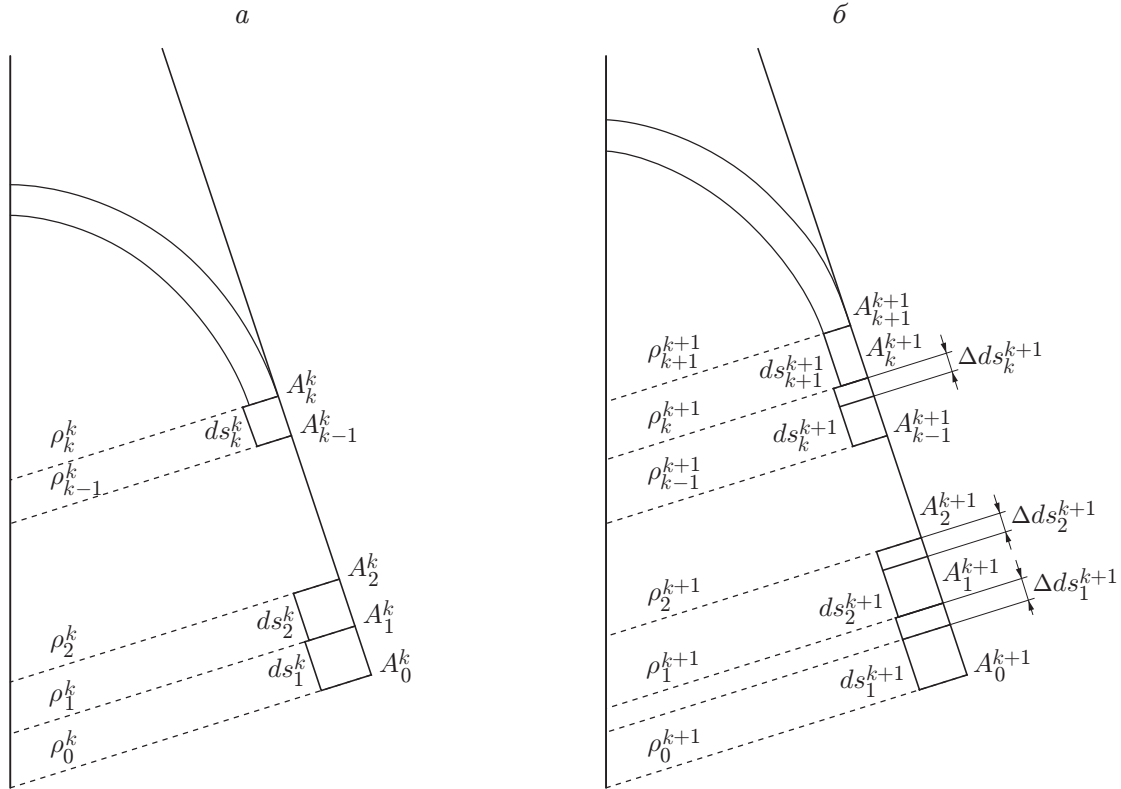


Рис. 2. Схема пошагового вычисления характеристик стесненного деформирования мембраны:  
 а — шаг  $k$ ; б — шаг  $k + 1$

**4. Стадия стесненного деформирования.** Началом процесса стесненного деформирования считается момент времени  $t = t_1$ , в который угол  $\alpha$  достигает величины  $\alpha_2$ .

Задача решается итерационным методом. Применяется аппроксимация производных по первому порядку точности. Произвольная  $(k + 1)$ -я итерация (шаг) характеризуется приращением времени  $dt^{k+1}$  и наличием соответствующего этому приращению дополнительного участка свободной части мембраны  $d(s_{k+1}^{k+1})$ , который начинает контактировать со стенками матрицы (рис. 2). Нижние числовые индексы при параметрах, характеризующих отдельный участок, обозначают шаг, на котором произошло прилегание этого участка к матрице, а верхние индексы — шаг по времени. На границе мембраны и матрицы принимается закон трения Кулона с коэффициентом трения  $\mu$ . При этом известны значения параметров, полученные на предыдущих шагах:  $q^1, \dots, q^k; dt^1, \dots, dt^k; \rho_0^k, \dots, \rho_k^k; ds_1^k, \dots, ds_k^k; H_0^k, \dots, H_k^k; (\sigma_\theta)_0^k, \dots, (\sigma_\theta)_k^k; (\dot{p}\theta)_0^k, \dots, (\dot{p}\theta)_k^k$ .

Зададим время  $dt^{k+1}$ . На  $(k + 1)$ -м шаге необходимо вычислить  $ds_{k+1}^{k+1}, (\sigma_\theta)_{k+1}^{k+1}, H_{k+1}^{k+1}$  и найти новые значения рассматриваемых величин.

За время  $dt^{k+1}$  отрезок  $A_i^k A_{i+1}^k$  удлиняется на величину  $\Delta(ds_i^{k+1})$ . За это же время свободная часть мембраны касается матрицы на участке длиной  $ds_{k+1}^{k+1}$ . Следовательно, за время  $dt^{k+1}$  контактирующая часть мембраны удлиняется на величину, равную

$$\sum_{i=1}^k \Delta(ds_i^{k+1}) + ds_{k+1}^{k+1}.$$

Вследствие ползучести участок  $A_i^k A_{i+1}^k$  удлиняется под действием напряжения. Среднее напряжение на этом участке равно  $0,5[(\sigma_\theta)_{i-1}^k + (\sigma_\theta)_i^k]$ , соответственно удлинение этого участка составляет

$$\Delta(ds_i^{k+1}) = \left( \frac{(\sigma_\theta)_{i-1}^k + (\sigma_\theta)_i^k}{4/\sqrt{3} - ((\sigma_\theta)_{i-1}^k + (\sigma_\theta)_i^k)} \right)^n (ds_i^k) dt^{k+1}.$$

Следовательно, длина участка  $A_i^k A_{i+1}^k$  равна

$$ds_i^{k+1} = ds_i^k + \Delta(ds_i^{k+1}).$$

За время  $dt^{k+1}$  дуга  $\alpha_2 \rho_k^k$  переходит в дугу  $\alpha_2(\rho_k^k + d\rho_k^{k+1}) + ds_{k+1}^{k+1}$ , поэтому приращение окружной деформации равно

$$d(p_\theta)_{k+1}^{k+1} = \frac{\alpha_2(\rho_k^k + d\rho_k^{k+1}) + ds_{k+1}^{k+1} - \alpha_2 \rho_k^k}{\alpha_2 \rho_k^k}. \quad (10)$$

Из геометрических соотношений следует

$$d\rho_k^{k+1} = - \left( \sum_{i=1}^k \Delta(ds_i^{k+1}) + ds_{k+1}^{k+1} \right) \operatorname{ctg} \alpha. \quad (11)$$

Подставляя уравнение равновесия (3) в соотношение (1), получаем

$$(\dot{p}_\theta)_{k+1}^{k+1} = \left( \frac{1}{1 - \sqrt{3} \rho_k^k q^{k+1} / (2H_0 H_k^k)} - 1 \right)^n. \quad (12)$$

Исключая  $(\dot{p}_\theta)_{k+1}^{k+1}$  из уравнения (12), с помощью (10), (11) находим

$$ds_{k+1}^{k+1} = \left( \frac{1}{1 - \sqrt{3} \rho_k^k q^{k+1} / (2H_0 H_k^k)} - 1 \right)^n \frac{\alpha_2 \rho_k^k}{1 - \alpha_2 \operatorname{ctg} \alpha_2} dt^{k+1} + \frac{\alpha_2 \operatorname{ctg} \alpha_2}{1 - \alpha_2 \operatorname{ctg} \alpha_2} \sum_{i=1}^k \Delta(ds_i^{k+1}).$$

Положения точек и соответственно значения радиусов на следующем шаге нетрудно найти из геометрических соотношений:

$$\rho_i^{k+1} = \frac{1}{\sin \alpha_2} - \operatorname{ctg} \alpha_2 \sum_{j=1}^i ds_j^{k+1}.$$

Так как радиальная скорость деформации равна  $\dot{p}_r = -\dot{p}_\theta = \dot{H}/H$ , то, записывая производную  $\dot{H}$  в виде конечных разностей, получаем соотношение, из которого определяются значения толщины участков мембраны:

$$H_i^{k+1} = H_i^k + dH_i^{k+1} = H_i^k \left[ 1 - \left( \frac{1}{1 - \sqrt{3} \rho_k^k q^{k+1} / (2H_0 H_k^k)} - 1 \right)^n \right].$$

Значения напряжения  $\sigma_\theta$  вычисляются из уравнения равновесия элемента  $A_i^k A_{i+1}^k$ , которое с использованием закона трения Кулона записывается следующим образом:

$$\begin{aligned} (\sigma_\theta)_{k+1}^{k+1} H_{k+1}^{k+1} H_0 &= (\sigma_\theta)_k^{k+1} H_k^{k+1} H_0 + \mu q^{k+1} ds_{k+1}^{k+1} = \\ &= (\sigma_\theta)_{k-1}^{k+1} H_{k-1}^{k+1} H_0 + \mu q^{k+1} ds_{k+1}^{k+1} + \mu q^{k+1} ds_k^{k+1} = \dots \\ &\dots = (\sigma_\theta)_0^{k+1} H_0^{k+1} H_0 + \mu q^{k+1} \sum_{i=k+1}^1 ds_i^{k+1} = q^{k+1} \rho_{k+1}^{k+1}. \end{aligned}$$

Следовательно, значения напряжения  $\sigma_\theta$  равны

$$(\sigma_\theta)_{k+1} = \frac{\rho_{k+1}^{k+1} q^{k+1}}{H_0 H_{k+1}^{k+1}}, \quad (\sigma_\theta)_i^{k+1} = \frac{(\sigma_\theta)_{i+1}^{k+1} H_{i+1}^{k+1}}{H_i^{k+1}} - \mu \frac{ds_{i+1}^{k+1} q^{k+1}}{H_0 H_i^{k+1}}.$$

**5. Разрушение мембраны.** Будем считать, что разрушение происходит в момент времени  $t^*$  при  $\sigma_u(t^*) = \sigma_b$ . Для описания разрушения на стадии стесненного деформирования введем параметр  $\bar{s} = s/a$  (далее черта над  $s$  опускается), характеризующий безразмерную длину участка контакта мембраны и матрицы.

Возможны два варианта завершения процесса деформирования: заполнение пространства внутри матрицы:  $s = s^0$  ( $s^0 = 1/\cos \alpha_2$ ) за конечное или бесконечное время или разрушение мембраны внутри незаполненной матрицы.

**6. Результаты расчетов.** В качестве примера рассмотрим деформирование мембраны из алюминиевого сплава Д16Т при температуре 400 °С. Ранее были получены следующие константы этого материала для модели (1):  $C = 9,37 \cdot 10^5$  МПа $^{-n} \cdot \text{с}^{-1}$ ,  $n = 3,4$ ,  $\sigma_b = 88,3$  МПа [6].

Выбраны следующие безразмерные параметры мембраны: толщина мембраны  $H_0 = 0,01$ , давление  $q = 2,8 \cdot 10^{-4}$ , угол раствора матрицы  $\alpha_2 = 80^\circ$ , коэффициент трения о стенки матрицы  $\mu = 0; 0,1; 0,3$ . Расчеты показывают, что  $H_1 = 0,97$ , окончанию второй стадии соответствуют значения параметров  $H_2 = 0,71$ ,  $t_2 = 0,38 \cdot 10^8$ .

На рис. 3 приведены зависимости толщины мембраны  $H$  (кривые 1–3) и напряжения  $\sigma_\theta$  (кривые 4–6) от времени деформирования  $t$ . На стадии стесненного деформирования величины  $H$  и  $\sigma_\theta$  зависят от коэффициента трения  $\mu$ . При  $\mu = 0; 0,1; 0,3$  процесс стесненного деформирования заканчивается по-разному: при отсутствии трения происходит заполнение мембраны за бесконечное время  $t^* \rightarrow +\infty$ , при  $\mu = 0,1$  — заполнение матрицы за время  $t = 1,67 \cdot 10^8$ , при  $\mu = 0,3$  — разрушение мембраны при  $t = 1,26 \cdot 10^8$ . В момент окончания процесса деформирования толщины в центре мембраны равны  $H = 0,22; 0,09; 0,07$  при  $\mu = 0; 0,1; 0,3$  соответственно.

На рис. 4 приведены распределение толщины мембраны  $H$  (кривые 1–5) и конечное распределение напряжения  $\sigma_\theta^*$  (кривые 6, 7) в поперечном сечении мембраны для трех стадий деформирования. В конце первой и второй стадий  $H(x) = \text{const}$ . В случае  $\mu = 0$  толщина мембраны в конце стадии стесненного деформирования по всей ширине постоянна (кривая 3). Кривые 4, 6 и 5, 7 соответствуют окончанию стадии стесненного деформирования при  $\mu = 0,1; 0,3$  соответственно. В конце стадии стесненного деформирования при

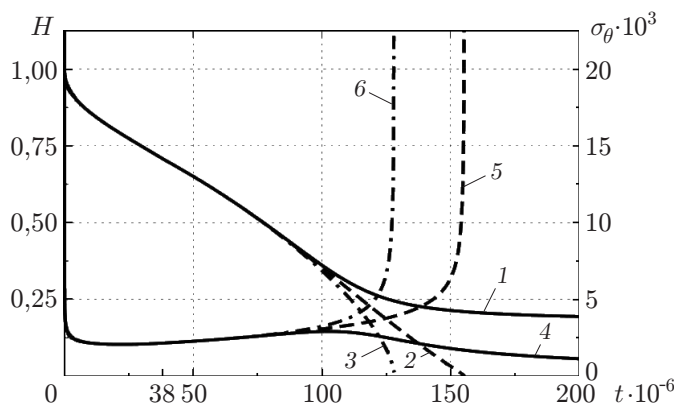


Рис. 3. Зависимости толщины мембраны (1–3) и напряжений (4–6) от времени: 1, 4 —  $\mu = 0$ ; 2, 5 —  $\mu = 0,1$ ; 3, 6 —  $\mu = 0,3$

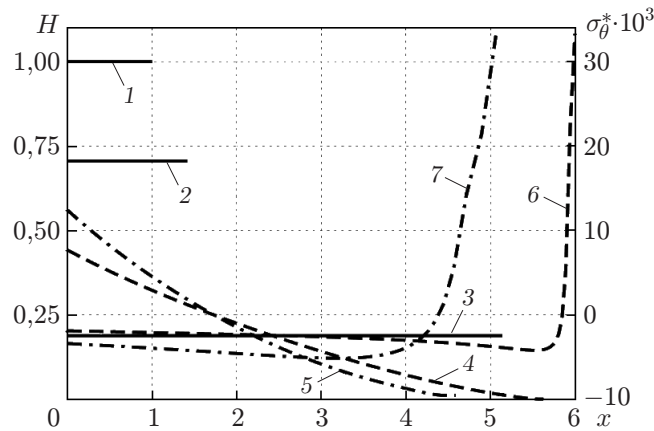


Рис. 4. Распределения толщины мембраны  $H$  (1–5) и напряжения  $\sigma_{\theta}^*$  (6, 7) по ширине мембраны для трех стадий деформирования:

1 — в конце стадии упругого деформирования, 2 — в конце стадии свободного деформирования ( $t = 0,38 \cdot 10^8$ ), 3–7 — в конце стадии стесненного деформирования (3 —  $\mu = 0$ ; 4, 6 —  $\mu = 0,1$ ; 5, 7 —  $\mu = 0,3$ )

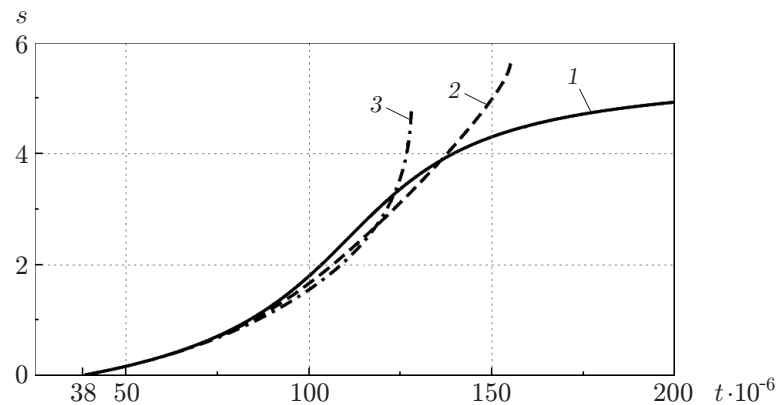


Рис. 5. Зависимость длины контактирующего участка мембраны от времени:

1 —  $\mu = 0$ ; 2 —  $\mu = 0,1$ ; 3 —  $\mu = 0,3$

$\mu > 0$  толщина мембраны  $H$  не является величиной, постоянной вдоль координаты  $x$  (кривые 4, 5), что обусловлено наличием трения о стенки матрицы. Заметим, что при большем трении различие максимальной и минимальной толщин становится более существенным. В случае заполнения матрицы толщина мембраны в центре минимальная ( $H = 0,07$ ), а вблизи края максимальная ( $H = 0,61$ ). Результаты анализа кривой 2 показывают, что при  $t = 38 \cdot 10^6$  ширина мембраны равна 1,45. Ширина мембраны, соответствующая полному заполнению матрицы, равна  $s^0 = 5,57$ .

На рис. 5 представлена зависимость безразмерной длины контактирующего со стенкой матрицы участка мембраны от безразмерного времени  $t$  при различных значениях коэффициента трения. Из рис. 5 следует, что при малых временах ( $t < 10^8$ ) наибольшая длина контактирующего участка матрицы имеет место при отсутствии трения и с увеличением коэффициента  $\mu$  уменьшается. Такой характер зависимости  $s(t)$  объясняется тем, что трение препятствует увеличению длины контактирующего участка мембраны. При  $t > 10^8$  характер зависимости  $s(t)$  меняется: наибольшая длина контактирующего участка наблюдается при  $\mu = 0,3$  и с уменьшением коэффициента  $\mu$  уменьшается. При  $t > 10^8$  в случае

ненулевого трения происходит интенсивное уменьшение толщины мембраны, вследствие чего возрастают напряжения в свободной части мембраны и повышается скорость деформирования мембраны.

#### ЛИТЕРАТУРА

1. **Шестериков С. А., Юмашева М. А.** Конкретизация уравнения состояния в теории ползучести // Механика твердого тела. 1984. № 1. С. 86–91.
2. **Качанов Л. М.** Основы механики разрушения. М.: Наука, 1974.
3. **Малинин Н. Н.** Ползучесть в обработке металлов. М.: Машиностроение, 1986.
4. **Романов К. И.** Механика горячего формоизменения металлов. М.: Машиностроение, 1993.
5. **Локощенко А. М.** Моделирование процесса ползучести и длительной прочности металлов. М.: Моск. гос. индустр. ун-т, 2007.
6. **Локощенко А. М., Терауд В. В.** Экспериментальное подтверждение моделирования осадки цилиндров при ползучести // Машиностроение и инж. образование. 2011. № 1. С. 49–53.

*Поступила в редакцию 16/XI 2012 г.*

---